

کاربرد مفهوم زمان گرمایی جهت مدل‌سازی پاسخ جوانه‌زنی کلزا (*Brassica napus* L.) به دما

ابوالفضل درخشان^۱ - عبدالمهدی بخشنده^{۱*} - سید عطاءالله سیادت^۱ - محمد رضا مرادی تلاوت^۱ - بهرام اندرزیان^۲

تاریخ دریافت: ۱۳۹۵/۰۹/۰۱

تاریخ پذیرش: ۱۳۹۶/۰۴/۲۱

چکیده

مدل‌های مبتنی بر مفهوم زمان گرمایی ابزار مفیدی برای توصیف و پیش‌بینی جوانه‌زنی و رهایی بذر از خواب در رابطه با زمان و دما هستند. هدف از این مطالعه ارزیابی دقت پیش‌بینی رهیافت‌های مختلف زمان گرمایی در توصیف جوانه‌زنی سه رقم بهاره کلزا (ساری‌گل، دلگان و RGS003) بود. آزمون جوانه‌زنی برای هر رقم در ۱۱ دمای ثابت ۸، ۱۲، ۱۶، ۲۰، ۲۴، ۲۸، ۳۲، ۳۳، ۳۴، ۳۵ و ۳۶ درجه سانتی‌گراد و چهار تکرار انجام شد و کل آزمایش سه مرتبه تکرار گردید. معیارهای نکویی برازش (RMSE و AICC) نشان داد که وقتی T_b (دمای پایه) و θ_{Tm} (زمان گرمایی لازم برای تکمیل جوانه‌زنی در دماهای بیش‌بینه) برای کل جمعیت بذری ثابت فرض شد و توزیع نرمال برای توصیف تنوع $\theta_{T(g)}$ (زمان گرمایی لازم برای تکمیل جوانه‌زنی هر کسر بذری معین در دماهای زیر بهینه) در دماهای زیر بهینه و $T_{m(g)}$ (دمای بیشینه برای هر کسر بذری معین) در دماهای بیش‌بینه به کار رفت، مدل برازش بهتر و دقیق‌تری از دوره‌های زمانی جوانه‌زنی هر سه رقم کلزا داشت. T_b برای ارقام ساری‌گل، دلگان و RGS003 به ترتیب ۵/۶۶، ۷/۱۳ و ۵/۸۶ درجه سانتی‌گراد برآورد شد. برآورد θ_{Tm} برای ارقام مختلف بین ۳۱/۶۲ تا ۳۴/۵۵ درجه سانتی‌گراد ساعت متغیر بود. در رقم ساری‌گل $\theta_{T(50)}$ و $T_{m(50)}$ به ترتیب ۳۶۹/۲۷ درجه سانتی‌گراد ساعت و ۳۴/۳۲ درجه سانتی‌گراد، در رقم دلگان به ترتیب ۳۷۸/۷۶ درجه سانتی‌گراد ساعت و ۳۳/۹۸ درجه سانتی‌گراد و در رقم RGS003 به ترتیب ۳۵۷/۸۹ درجه سانتی‌گراد ساعت و ۳۴/۴۲ درجه سانتی‌گراد پیش‌بینی شد. دمای بهینه برای درصد‌های مختلف جوانه‌زنی ($T_{o(g)}$) ثابت نبود. $T_{o(50)}$ برای ارقام ساری‌گل، دلگان و RGS003 به ترتیب ۳۱/۸۵، ۳۱/۷۸ و ۳۲/۰۶ درجه سانتی‌گراد تعیین شد.

واژه‌های کلیدی: تابع توزیع تجمعی، توزیع نرمال، دمای کاردینال، شاخص آکائیک، واحدهای گرمایی

مقدمه

دما یکی از مهم‌ترین عوامل مؤثر بر جوانه‌زنی بذر است. دماهای پایه (T_b)، بهینه (T_o) و بیشینه (T_m) گستره‌ای از این عامل زیست‌محیطی را تعریف می‌کنند که در آن جوانه‌زنی بذر یک گونه معین رخ می‌دهد. بذرها در دماهای کمتر از T_b یا بیشتر از T_m قادر به جوانه‌زنی نیستند، درحالی‌که سرعت و درصد جوانه‌زنی در T_o در حداکثر است. روابط گوناگونی برای توصیف اثر دما بر جوانه‌زنی با هدف تعیین تاریخ کاشت بهینه گیاهان زراعی یا زمان سبز شدن گونه‌های علف‌هرز در محیط‌های مختلف ارائه شده است (Soltani et al., 2014; Mesgaran et al., 2006). در همه این روابط، زمان

گرمایی^۳ یا واحدهای حرارتی^۴ همواره به‌عنوان یک اصل پذیرفته شده برای کمی‌سازی رشد گیاه و فرآیندهای نمودی مطرح بوده (Soltani and Sinclair, 2011) و به‌طور گسترده برای مدل‌سازی تغییرات خواب (Steadman, 2004)، جوانه‌زنی بذر (Garcia-Huidobro et al., 1982; Covell et al., 1986)، سبز شدن گیاهچه (Qiu et al., 2006) و سایر مراحل نمو فنولوژیک (Soltani and Sinclair, 2011) استفاده شده است.

در مدل‌های جوانه‌زنی-گرمایی^۵ فرض می‌شود که سرعت جوانه‌زنی برای هر کسر بذری معین (GR_g) با افزایش دما از T_o تا T_b به‌طور خطی افزایش و با افزایش بیشتر دما تا T_m به‌طور خطی کاهش می‌یابد (Bradford, 2002). در بیشتر این مدل‌ها، تنوع زمان جوانه‌زنی برای هر کسر معین (g) از جمعیت بذری در دامنه دماهای زیر بهینه به‌عنوان پیامدی از تنوع مقادیر زمان گرمایی مورد نیاز برای جوانه‌زنی آن کسر ($\theta_{T(g)}$) فرض شده است. در این حالت، T_b برای

۱- گروه مهندسی تولید و ژنتیک گیاهی، دانشکده کشاورزی، دانشگاه علوم کشاورزی و منابع طبیعی خوزستان

۲- بخش تحقیقات اصلاح و تهیه نهال و بذر، مرکز تحقیقات و آموزش کشاورزی و منابع طبیعی خوزستان، سازمان تحقیقات، آموزش و ترویج کشاورزی

*- نویسنده مسئول: (Email: Abakhshandeh@ramin.ac.ir)

DOI: 10.22067/gsc.v16i1.60457

3- Thermal time

4- Heat unit

5- Thermal-germination model

فرض‌های مدل زمان گرمایی در مورد جوانه‌زنی سه رقم بهاره کلزا مورد آزمون قرار گرفت و در نهایت بهترین فرض‌ها جهت مدل‌سازی پاسخ جوانه‌زنی به دما و تعیین دماهای کاردینال برای این ارقام به کار رفت.

مواد و روش‌ها

آزمایش در سال ۱۳۹۵ در آزمایشگاه تکنولوژی بذر دانشگاه علوم کشاورزی و منابع طبیعی خوزستان اجرا شد. در این مطالعه پاسخ جوانه‌زنی بذر سه رقم بهاره کلزا (ساری گل، دلگان و RGS003) به دما مورد ارزیابی قرار گرفت. آزمون جوانه‌زنی در انکوباتورهایی با دماهای ثابت ۸، ۱۲، ۱۶، ۲۰، ۲۴، ۲۸، ۳۲، ۳۳، ۳۴، ۳۵ و ۳۶ (±۰/۲) درجه سانتی‌گراد انجام شد. این رژیم‌های دمایی هم دامنه دمایی زیر بهینه و هم دامنه دمایی بیش‌بهینه برای جوانه‌زنی ارقام کلزا را پوشش داد. برای هر رقم، آزمون جوانه‌زنی در قالب طرح کاملاً تصادفی با چهار تکرار اجرا شد. در هر تکرار، ۱۰۰ بذر روی کاغذ صافی واتمن شماره یک در پتری دیش پلاستیکی ۹ سانتی‌متری قرار گرفت و سپس کاغذهای صافی با هفت میلی‌لیتر آب مقطر مرطوب شدند. برای کاهش تلفات آب از طریق تبخیر، پتری دیش‌ها با پارافیلیم پوشانده شدند و آبیاری پتری دیش‌ها در صورت نیاز انجام شد. به‌منظور هم‌دمایی آب مقطر با دمای انکوباتور، آب مقطر ۲۴ ساعت قبل از شروع آزمایش در انکوباتور قرار گرفت. بذرهایی که ریشه‌چه آنها به اندازه دو میلی‌متر یا بیشتر خارج شده بود، جوانه‌زده در نظر گرفته شدند. تعداد بذره‌های جوانه‌زده روزانه چهار یا پنج مرتبه به مدت ۲۱ روز شمارش شد. کل آزمایش سه مرتبه تکرار شد و میانگین داده‌های جوانه‌زنی هر رقم در هر دما برای تجزیه آماری مورد استفاده قرار گرفت.

درصد جوانه‌زنی تجمعی برای هر رقم و رژیم دمایی در هر ساعت شمارش محاسبه گردید. سپس، زمان صرف شده برای رسیدن جوانه‌زنی تجمعی به زیرجمعیت‌های ۱۰، ۵۰ و ۹۰ درصد از حداکثر جوانه‌زنی در هر رژیم دمایی با درون‌یابی از منحنی پیشرفت این فرآیند در برابر زمان محاسبه شد (Soltani et al., 2006). سرعت جوانه‌زنی (GR_g)؛ عکس زمان جوانه‌زنی برای هر کسر بذری معین به‌عنوان تابعی از دما به‌طور جداگانه برای هر رقم و کسر جوانه‌زنی ترسیم شد و داده‌ها جهت اجرای رویه‌های رگرسیون غیر خطی توسط بازرسی بصری به دو گروه دماهای زیر بهینه و بیش‌بهینه تقسیم شدند (Covell et al., 1986; Hardegree, 2006). جوانه‌زنی بذرها درون یک جمعیت بذری به دلیل تنوع پاسخ هر بذر به دما (یا تنوع سرعت جوانه‌زنی بذرها در یک دمای ثابت و کل دماهای مورد آزمون)

کل جمعیت بذری ثابت در نظر گرفته می‌شود (Covell et al., 1986; Ellis et al., 1986; Bradford, 2002). در دامنه دمایی بیش‌بهینه، تنوع در GR_g در میان کسرهای بذری پیامدی از تنوع T_m در درون آن جمعیت ($T_{m(g)}$) است، درحالی‌که زمان گرمایی مورد نیاز برای جوانه‌زنی همه بذرها (θ_{Tm}) ثابت در نظر گرفته می‌شود (Ellis et al., 1986). بنابراین، در دامنه دمایی زیر بهینه،

$$\theta_{T(g)} = (T - T_b)t_g \quad (1)$$

از آنجا که GR_g به‌عنوان عکس زمان جوانه‌زنی کسر g جمعیت بذری (t_g) تعریف می‌شود، معادله (۱) را می‌توان به‌صورت زیر بازنویسی کرد:

$$GR_g = 1/t_g = (T - T_b) / \theta_{T(g)} \quad (2)$$

در دامنه دمایی بیش‌بهینه،

$$\theta_{Tm} = (T_{m(g)} - T)t_g \quad (3)$$

یا

$$GR_g = 1/t_g = (T_{m(g)} - T) / \theta_{Tm} \quad (4)$$

برای هر کسر جوانه‌زنی، GR_g را می‌توان با استفاده از دو خط راست توصیف کرد. شیب این دو خط معادل $\theta_{T(g)}$ و θ_{Tm} است و نقطه تقاطع آنها به‌عنوان T_o تعریف می‌شود. همچنین، دو نقطه‌ای که در آن GR_g معادل صفر است به ترتیب به‌عنوان T_b و T_m کسر جوانه‌زنی معین g ($T_{m(g)}$) تعریف می‌شوند (Covell et al., 1986; Ellis et al., 1986). این مدل به‌طور گسترده برای مقایسه زمان جوانه‌زنی گونه‌های مختلف یا برای یک گونه در زیستگاه‌ها و شرایط آب و هوایی مختلف (Alvarado and Bradford, 2002)، کمی‌سازی خواب بذر (Chantre et al., 2009) و تعیین اثر تیمارهای پرایمینگ (Hardegree and Van Vactor, 2000) استفاده شده است. با این وجود، فرضیات این مدل در مورد جوانه‌زنی برخی گونه‌های گیاهی صادق نبوده است. برای مثال، چنتر و همکاران (Chantre et al., 2009) گزارش کردند که پاسخ جوانه‌زنی سنگدانه (*Lithospermum arvense* L.) به دما با در نظر گرفتن توزیع نرمال برای هر دو T_b و T_m جمعیت بذری به‌طور دقیق‌تری شبیه‌سازی شد. ژانگ و همکاران (Zhang et al., 2012) از توزیع نرمال برای توصیف تنوع T_b درون جمعیت بذری گونه‌های چچم یکساله (*Lolium multiflorum*) (Lam. و چندساله (*Lolium perenne* L.) استفاده کردند. هاردگری (Hardegree, 2006) نیز گزارش کرد که هنگامی که T_m ثابت فرض شد و θ_{Tm} در داخل جمعیت بذری بر مبنای توزیع لوگ‌نرمال تغییر کرد، مدل برازش بهتری به جوانه‌زنی چهار گونه علف مرتعی در پاسخ به دما داشت.

درک بهتری از الگوهای جوانه‌زنی بذر در غربال ارقام و گیاهان زراعی از نظر دامنه تحمل به دماهای پایین و بالا و همچنین برای شناسایی مناطق جغرافیایی که در آن یک گونه یا ژنوتیپ قادر به جوانه‌زنی و استقرار موفقیت‌آمیزی است، مفید می‌باشد. در این مطالعه،

مدل ۳. در این مدل T_m و θ_T برای کل جمعیت بذری ثابت در نظر گرفته شد. درحالی‌که، تنوع $T_{b(g)}$ در دماهای زیر بهینه و $\theta_{Tm(g)}$ در دماهای بیش بهینه بر حسب توزیع نرمال توصیف شد. برای این مدل، پیشرفت جوانه‌زنی در طی زمان در دماهای زیر بهینه با استفاده از رابطه زیر پیش‌بینی شد:

$$p(T_{b(g)}) = \phi[(T_{b(g)} - T_{b(50)}) / \sigma_{Tb}] \quad (۹)$$

که در این معادله p نسبت جوانه‌زنی بذرها برای هر T_b معین؛ $T_{b(50)}$ میانگین توزیع نرمال (دمایی که در آن جوانه‌زنی ۵۰ درصد از جمعیت بذری متوقف می‌شود) و σ_{Tb} انحراف استاندارد توزیع نرمال (اندازه پراکنش توزیع $T_{b(g)}$) است. در این مدل، پیشرفت جوانه‌زنی در طی زمان در دماهای بیش بهینه با استفاده از معادله (۶) پیش‌بینی شد.

مدل ۴. در این مدل θ_{Tm} و θ_T برای کل جمعیت بذری ثابت در نظر گرفته شد. درحالی‌که، تنوع $T_{b(g)}$ در دماهای زیر بهینه و $T_{m(g)}$ در دماهای بیش بهینه بر حسب توزیع نرمال توصیف شد. در این مدل، پیشرفت جوانه‌زنی در طی زمان در دماهای زیر بهینه با استفاده از معادله (۹) و در دماهای بیش بهینه با استفاده از معادله (۸) پیش‌بینی شد.

برازش مدل‌های جوانه‌زنی-گرمایی به داده‌های تجمعی ارقام مختلف کلزا با استفاده از نرم‌افزار SAS و با رویه NLMIXED PROC و به روش بهینه‌سازی پیش فرض Dual Quasi-Newton در این نرم‌افزار انجام شد. برای ارزیابی برازش مدل‌ها از شاخص ریشه میانگین مربعات خطا (RMSE^F) و برای انتخاب بهترین تابع توزیع از شاخص آکائیک (AIC^A) استفاده شد (Burnham and Anderson, 2002).

$$AIC = n \times \ln(RSS / n) + 2K \quad (۱۰)$$

که RSS^E جمع مربعات باقیمانده؛ n تعداد نمونه و k تعداد پارامترهای مدل مورد نظر می‌باشد. بهترین مدل در مقایسه مدل‌ها، مدلی است که کمترین میزان AIC محاسبه شده را دارا باشد.

نتایج و بحث

بذر هر سه رقم کلزا در دمای ۳۲ درجه سانتی‌گراد سرعت جوانه‌زنی بیشتری نسبت به رژیم‌های دمایی کمتر و بیشتر از این حد دارا بودند. بنابراین، دمای بهینه برای جوانه‌زنی (T_o) جهت انجام رویه‌های رگرسیون غیر خطی و برآورد پارامترهای هر یک از مدل‌ها معادل ۳۲ درجه سانتی‌گراد فرض شد. برآورد پارامترها با استفاده از هر یک از مدل‌ها و همچنین معیارهای ارزیابی نکوبی برازش برای هر سه رقم کلزا در جدول ۱ ارائه شده است. بر مبنای مدل‌های ۱ و ۲،

از یک تابع توزیع تجمعی^۱ دو جمله‌ای^۲ تبعیت می‌کند. از این‌رو، جوانه‌زنی مشاهده شده بر اساس تابع توزیع تجمعی توزیع نرمال بر حسب قضیه حد مرکزی^۳ شبیه‌سازی شد (Chantre et al., 2009). چهار مدل جوانه‌زنی-گرمایی جهت مدل‌سازی پاسخ جوانه‌زنی ارقام بهاره کلزا به دما مورد مقایسه قرار گرفت:

مدل ۱. در این مدل T_b و T_m برای کل جمعیت بذری ثابت در نظر گرفته شد. درحالی‌که، تنوع $\theta_{T(g)}$ در دماهای زیر بهینه و $\theta_{Tm(g)}$ در دماهای بیش بهینه با استفاده از یک تابع توزیع نرمال توصیف شد. برای این مدل، پیشرفت جوانه‌زنی در طی زمان در دماهای زیر بهینه با استفاده از معادله زیر پیش‌بینی شد:

$$p(\theta_{T(g)}) = \phi[(\theta_{T(g)} - \theta_{T(50)}) / \sigma_{\theta T}] \quad (۵)$$

که در این معادله p نسبت جوانه‌زنی بذرها برای هر θ_T معین؛ Φ ، تبدیل لاپلاس انتگرال یا تابع توزیع تجمعی برای توزیع نرمال استاندارد با میانگین صفر و خطای استاندارد یک؛ $\theta_{T(50)}$ میانگین توزیع نرمال (زمان گرمایی مورد نیاز برای جوانه‌زنی ۵۰ درصد از جمعیت بذری در دماهای زیر بهینه) و $\sigma_{\theta T}$ انحراف استاندارد توزیع نرمال (اندازه پراکنش توزیع $\theta_{T(g)}$) است. برای دماهای بیش بهینه، جوانه‌زنی با استفاده از معادله (۶) پیش‌بینی شد:

$$p(\theta_{Tm(g)}) = \phi[(\theta_{Tm(g)} - \theta_{Tm(50)}) / \sigma_{\theta Tm}] \quad (۶)$$

که در این معادله p نسبت جوانه‌زنی بذرها برای هر θ_{Tm} معین؛ $\theta_{Tm(50)}$ میانگین توزیع نرمال (زمان گرمایی مورد نیاز برای جوانه‌زنی ۵۰ درصد از جمعیت بذری در دماهای بیش بهینه) و $\sigma_{\theta Tm}$ انحراف استاندارد توزیع نرمال (اندازه پراکنش توزیع $\theta_{Tm(g)}$) است. در این معادله Φ به‌صورت زیر تعریف می‌شود:

$$\phi(x) = \frac{1}{\sqrt{2\pi}} \int_0^x e^{-t^2/2} dt \quad (۷)$$

مدل ۲. در این مدل T_b و θ_{Tm} برای کل جمعیت بذری ثابت در نظر گرفته شد. درحالی‌که، تنوع $\theta_{T(g)}$ در دماهای زیر بهینه و $T_{m(g)}$ در دماهای بیش بهینه با استفاده از یک تابع توزیع نرمال توصیف شد. در این مدل، پیشرفت جوانه‌زنی در طی زمان در دماهای زیر بهینه با استفاده از رابطه (۵) پیش‌بینی شد. جوانه‌زنی ارقام کلزا در پاسخ به دماهای بیش بهینه با استفاده از معادله (۸) توصیف شد:

$$p(T_{m(g)}) = 1 - [\phi[(T_{m(g)} - T_{m(50)}) / \sigma_{Tm}]] \quad (۸)$$

که در این معادله p نسبت جوانه‌زنی بذرها برای هر T_m معین؛ $T_{m(50)}$ میانگین توزیع نرمال (دمایی که در آن ۵۰ درصد از جمعیت بذری بازدارندگی گرمایی جوانه‌زنی نشان می‌دهند) و σ_{Tm} انحراف استاندارد توزیع نرمال (اندازه پراکنش توزیع $T_{m(g)}$) است.

4- Root Mean of Squares of Error
5- Akaike Information Criterion
6- Residual Sum of Square

1- Cumulative distribution function
2- Binomial
3- Central limit theorem

پراکنش $T_{m(g)}$ (σ_{Tm}) در رقم دلگان (۰/۲۵) درجه سانتی‌گراد) به‌طور معنی‌داری کوچکتر از σ_{Tm} دو رقم دیگر کلزا برآورد شد (جدول ۱). معیارهای نکویی برازش (RMSE و AICc) نشان دادند که وقتی θ_{Tm} و T_b برای کل جمعیت بذری ثابت فرض شد و توزیع نرمال برای توصیف تنوع $\theta_{T(g)}$ در دماهای زیر بهینه و $T_{m(g)}$ در دماهای بیش‌بهینه به کار رفت (مدل جوانه‌زنی-گرمایی ۲)، مدل برازش بهتر و دقیق‌تری به داده‌های جوانه‌زنی هر سه رقم کلزا داشت. برعکس، در هر سه رقم کلزا بیشترین مقادیر RMSE و AICc وقتی به‌دست آمد که هر دوی θ_T و T_m برای کل جمعیت بذری ثابت فرض شد (مدل ۳) (جدول ۱). روابط بین $\theta_{T(g)}$ مشاهده شده و پیش‌بینی شده (مدل‌های ۱ و ۲)، $T_{b(g)}$ مشاهده شده و پیش‌بینی شده (مدل‌های ۳ و ۴)، $\theta_{Tm(g)}$ مشاهده شده و پیش‌بینی شده (مدل‌های ۱ و ۳) و $T_{m(g)}$ مشاهده شده و پیش‌بینی شده (مدل‌های ۲ و ۴) برای ارقام مختلف کلزا در شکل‌های (۳-۱) ارائه شده است. چنانچه مقادیر واقعی و پیش‌بینی شده منطبق بر هم باشند، بدیهی است که مدل به درستی الگوهای جوانه‌زنی مشاهده شده را توضیح می‌دهد. تطابق بیشتر رابطه بین θ_T واقعی و پیش‌بینی شده و T_m واقعی و پیش‌بینی شده برای کسرهای مختلف جوانه‌زنی در این اشکال حاکی از آن است که مدل جوانه‌زنی-گرمایی ۲ در هر سه رقم کلزا دوره‌های زمانی جوانه‌زنی در پاسخ به دما را بهتر از سایرین توضیح داده است.

بر اساس توزیع تجمعی وارونه توزیع نرمال و خروجی‌های مدل ۲، زمان گرمایی مورد نیاز در دماهای زیر بهینه برای رسیدن درصد جوانه‌زنی نهایی به ۱۰ ($\theta_{T(10)}$) و ۹۰ درصد ($\theta_{T(90)}$) از حداکثر در رقم ساری‌گل به ترتیب معادل ۲۷۳/۳۲ و ۴۶۵/۲۲ درجه سانتی‌گراد ساعت برآورد شد (شکل ۱). همچنین، T_m برای احتمال جوانه‌زنی ۱۰ ($T_{m(10)}$) و ۹۰ درصد ($T_{m(90)}$) برای این رقم به ترتیب معادل ۳۵/۰۷ و ۳۳/۵۷ درجه سانتی‌گراد پیش‌بینی شد (شکل ۱). برای رقم دلگان، $\theta_{T(10)}$ و $\theta_{T(90)}$ به ترتیب معادل ۲۴۱/۵۲ و ۵۱۶/۰۰ درجه سانتی‌گراد ساعت و $T_{m(10)}$ و $T_{m(90)}$ به ترتیب معادل ۳۴/۳۰ و ۳۳/۶۶ درجه سانتی‌گراد پیش‌بینی شد (شکل ۲). در رقم RGS003، $\theta_{T(10)}$ و $\theta_{T(90)}$ به ترتیب معادل ۲۶۳/۵۲ و ۴۵۲/۲۶ درجه سانتی‌گراد ساعت و $T_{m(10)}$ و $T_{m(90)}$ به ترتیب معادل ۳۵/۲۷ و ۳۳/۵۶ درجه سانتی‌گراد پیش‌بینی شد (شکل ۳). این پارامترها به‌همراه سایر خروجی‌های مدل جوانه‌زنی-گرمایی ۲ جهت محاسبه سرعت جوانه‌زنی زیرجمعیت‌های ۱۰، ۵۰ و ۹۰ درصد (روابط (۲) و (۴)) مورد استفاده قرار گرفت (شکل ۴). همچنین، مقادیر T_o برای هر رقم کلزا در هر زیرجمعیت از طریق محاسبه نقطه قطع توابع پاسخ دمایی زیر بهینه و بیش‌بهینه تعیین شد (Hardegree, 2006). بر این اساس، مقادیر T_o محاسبه شده برای زیرجمعیت‌های مختلف ثابت نبود. مقدار T_o برای ۱۰ ($T_{o(10)}$)، ۵۰ ($T_{o(50)}$) و ۹۰ درصد ($T_{o(90)}$) جوانه‌زنی رقم ساری‌گل به ترتیب معادل ۳۱/۷۷، ۳۱/۸۵ و ۳۱/۶۴ درجه سانتی‌گراد تعیین شد (شکل ۴A).

حداقل دمای لازم برای جوانه‌زنی (T_b) رقم دلگان معادل ۷/۱۳ درجه سانتی‌گراد برآورد شد که این مقدار به‌طور معنی‌داری بزرگتر از برآورد T_b برای رقم ساری‌گل (۵/۶۶ درجه سانتی‌گراد) و RGS003 (۵/۸۶ درجه سانتی‌گراد) بود. بر اساس همین دو مدل، زمان گرمایی مورد نیاز برای جوانه‌دار شدن نیمی از جمعیت بذری در دماهای زیر بهینه ($\theta_{T(50)}$) برای ارقام مختلف کلزا بین ۳۵۷/۸۲ (دلگان) تا ۳۷۸/۷۶ (RGS003) درجه سانتی‌گراد ساعت متغیر بود. همچنین، اندازه پراکنش $\theta_{T(g)}$ ($\sigma_{\theta T}$) در رقم دلگان (۱۰۷/۰۹) درجه سانتی‌گراد ساعت) به‌طور معنی‌داری بیشتر از ارقام ساری‌گل (۷۴/۸۷) درجه سانتی‌گراد ساعت) و RGS003 (۷۳/۶۴) درجه سانتی‌گراد ساعت) بود (جدول ۱). زمان گرمایی مورد نیاز برای جوانه‌زنی همه بذرها در دماهای زیر بهینه در مدل‌های جوانه‌زنی-گرمایی ۳ و ۴ ثابت فرض شد. بر این اساس، ثابت θ_T برای ارقام ساری‌گل، دلگان و RGS003 به ترتیب معادل ۳۷۱/۹۰، ۳۸۳/۸۱ و ۳۶۲/۶۵ درجه سانتی‌گراد ساعت برآورد شد که از این نظر تنها بین ارقام دلگان و RGS003 اختلاف معنی‌داری وجود داشت (جدول ۱). میانگین توزیع T_b جمعیت بذری ($T_{b(50)}$) بر مبنای این مدل‌ها برای ارقام ساری‌گل و RGS003 (به‌طور متوسط ۵/۵۶ درجه سانتی‌گراد) به‌طور معنی‌داری کوچکتر از رقم دلگان (۷/۴۱) درجه سانتی‌گراد) برآورد شد. همچنین، برآورد اندازه پراکنش توزیع $T_{b(g)}$ (σ_{Tb}) برای رقم دلگان (۱/۴۶) درجه سانتی‌گراد) به‌طور معنی‌داری بزرگتر از دو رقم دیگر کلزا (به‌طور متوسط ۰/۹۵ درجه سانتی‌گراد) بود (جدول ۱).

برآورد دمای بیشینه برای جوانه‌زنی (T_m) بر مبنای مدل‌های ۱ و ۳ برای ارقام مختلف کلزا بین ۳۴/۱۷ (دلگان) تا ۳۴/۲۳ (ساری‌گل) درجه سانتی‌گراد متغیر بود. بر مبنای این مدل‌ها، زمان گرمایی مورد نیاز برای جوانه‌زنی نیمی از جمعیت بذری در دماهای بیش‌بهینه ($\theta_{Tm(50)}$) برای رقم RGS003 معادل ۲۷/۸۳ درجه سانتی‌گراد ساعت برآورد شد که به‌طور معنی‌داری کمتر از $\theta_{Tm(50)}$ برآورد شده برای رقم ساری‌گل (۳۳/۰۸) درجه سانتی‌گراد ساعت) و برای این رقم نیز به‌طور معنی‌داری کمتر از برآورد $\theta_{Tm(50)}$ برای رقم دلگان (۳۹/۰۴) درجه سانتی‌گراد ساعت) بود. اندازه پراکنش توزیع $\theta_{Tm(g)}$ ($\sigma_{\theta Tm}$) برای رقم دلگان (۱۰/۰۳) درجه سانتی‌گراد ساعت) به‌طور معنی‌داری کوچکتر از ارقام ساری‌گل و RGS003 (به‌طور متوسط ۱۹/۳۵ درجه سانتی‌گراد ساعت) برآورد شد (جدول ۱).

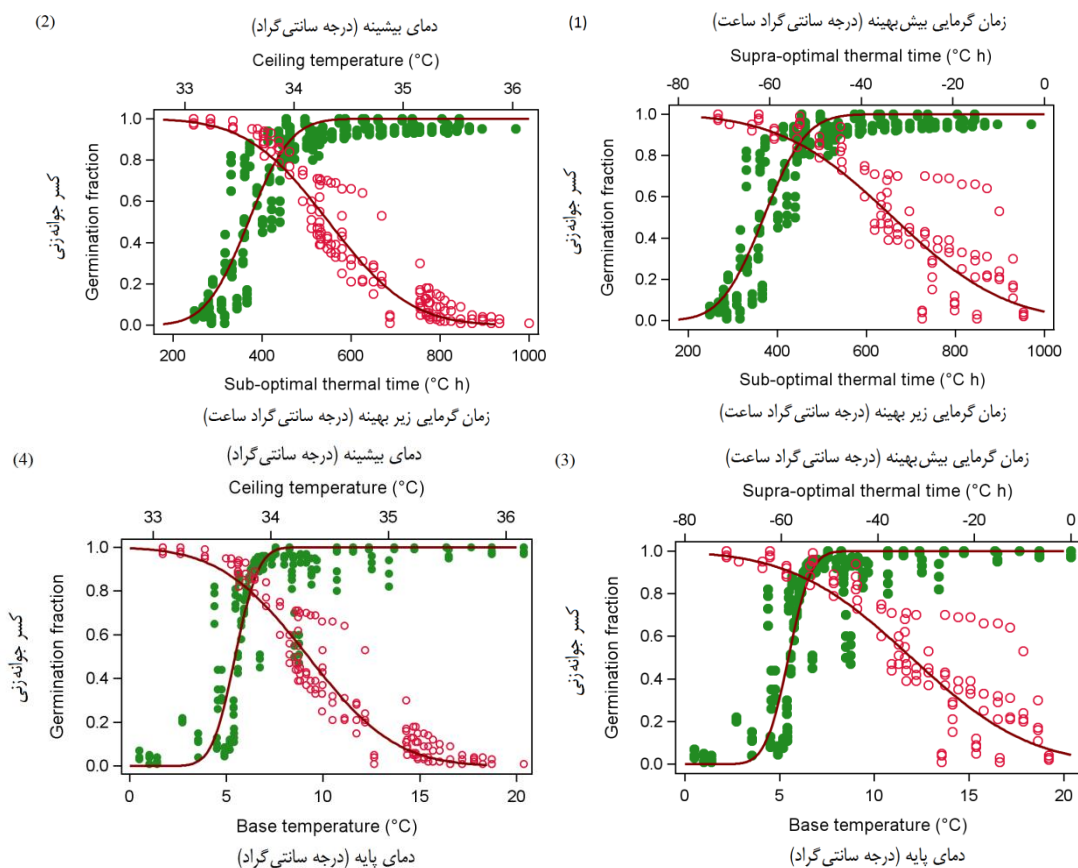
میان ارقام کلزا از نظر ثابت θ_{Tm} برآورد شده با مدل‌های جوانه‌زنی-گرمایی ۲ یا ۴ اختلاف معنی‌داری وجود نداشت و به‌طور متوسط برای همه ارقام حدود ۳۳/۳۱ درجه سانتی‌گراد ساعت به‌دست آمد. بر اساس این دو مدل، برآورد میانگین T_m ($T_{m(50)}$) برای رقم دلگان (۳۳/۹۸) درجه سانتی‌گراد) به‌طور معنی‌داری کوچکتر از برآورد این پارامتر برای رقم ساری‌گل (۳۴/۳۲) درجه سانتی‌گراد) یا RGS003 (۳۴/۴۲) درجه سانتی‌گراد) بود. به‌طور مشابه، اندازه

جدول ۱- برآورد پارامترها و ارزیابی تکویی برآزش برای مدل های مختلف جوانه زنی-گرمایی برآزش یافته به جوانه زنی تجمعی ارقام کلزا در دامنه ای از دماهای ثابت
 Table 1- Parameters estimates and goodness of fit assessment for different thermal-germination models fitted to cumulative germination of oilseed rape cultivars across a range of constant temperatures

Parameter ^{s*}	Sarigol				Dalgan				RGS003			
	Model 1	Model 2	Model 3	Model 4	Model 1	Model 2	Model 3	Model 4	Model 1	Model 2	Model 3	Model 4
T_b (°C)	5.66±0.04	5.66±0.04	-	-	7.13±0.02	7.13±0.02	-	-	5.86±0.04	5.86±0.04	-	-
$\theta_{T(50)}$ (°C h)	369.27±3.55	369.27±3.55	-	-	378.76±4.01	378.76±4.01	-	-	357.89±3.51	357.89±3.51	-	-
$\sigma_{T(50)}$ (°C h)	74.87±3.23	74.87±3.23	-	-	107.09±4.52	107.09±4.52	-	-	73.64±3.19	73.64±3.19	-	-
θ_T (°C h)	-	-	371.90±2.57	371.90±2.57	-	-	383.81±7.74	383.81±7.74	-	-	362.65±2.17	362.65±2.17
$T_{b(50)}$ (°C)	-	-	5.46±0.05	5.46±0.05	-	-	7.41±0.08	7.41±0.08	-	-	5.66±0.05	5.66±0.05
σ_{Tb} (°C)	-	-	0.95±0.06	0.95±0.06	-	-	1.46±0.10	1.46±0.10	-	-	0.95±0.05	0.95±0.05
T_m (°C)	34.23±0.01	-	34.23±0.01	-	34.17±0.01	-	34.17±0.01	-	34.22±0.01	-	34.22±0.01	-
$\theta_{Tm(50)}$ (°C h)	33.08±1.02	-	33.08±1.02	-	39.04±0.73	-	39.04±0.73	-	27.83±1.03	-	27.83±1.03	-
$\sigma_{\theta Tm}$ (°C h)	19.31±1.10	-	19.31±1.10	-	10.03±0.88	-	10.03±0.88	-	19.40±1.11	-	19.40±1.11	-
θ_{Tm} (°C h)	-	34.55±0.83	-	34.55±0.83	-	33.76±0.77	-	33.76±0.77	-	31.62±0.83	-	31.62±0.83
$T_{m(50)}$ (°C)	-	34.32±0.03	-	34.32±0.03	-	33.98±0.25	-	33.98±0.25	-	34.42±0.03	-	34.42±0.03
σ_{Tm} (°C)	-	0.59±0.03	-	0.59±0.03	-	0.25±0.02	-	0.25±0.02	-	0.67±0.03	-	0.67±0.03
RMSE	0.1122	0.0952	0.1250	0.1100	0.1174	0.1158	0.1391	0.1377	0.1206	0.0984	0.1292	0.1087
AICc	-938.8	-1142.0	-805.0	-963.4	-1022.0	-1042.0	-778.9	-793.1	-821.1	-1066.0	-738.4	-945.7

* T_b = The base temperature for the entire seed population; $\theta_{T(50)}$ = The thermal time required for 50% germination at sub-optimal temperatures; $\sigma_{T(50)}$ = Standard deviation of the normal distribution of sub-optimal thermal time; θ_T = The thermal time required to complete germination at supra-optimal temperatures; $T_{b(50)}$ = The base temperature for 50% germination of seed population; σ_{Tb} = Standard deviation of the normal distribution of base temperatures in seed population; T_m = The maximum temperature for the entire seed population; $\theta_{Tm(50)}$ = The thermal time required for 50% germination of seed population at supra-optimal temperatures; $\sigma_{\theta Tm}$ = Standard deviation of the normal distribution of supra-optimal thermal time; θ_{Tm} = The thermal time required to complete germination at supra-optimal temperatures; $T_{m(50)}$ = The maximum temperature to inhibit 50% germination of seed population; σ_{Tm} = Standard deviation of the normal distribution of maximum temperatures in seed population; RMSE=Root Mean Square Error; AICc= Akaike Information Criteria.

نمایش دهنده: $T_{b(50)}$ = دمای پایه برای جوانه زنی ۵۰ درصد از جمعیت بذری؛ $\theta_{T(50)}$ = زمان گرمایی مورد نیاز برای جوانه زنی ۵۰ درصد از جمعیت بذری؛ $\sigma_{T(50)}$ = انحراف استاندارد توزیع نرمال برای جوانه زنی ۵۰ درصد از جمعیت بذری؛ θ_T = دمای پایه کل جمعیت بذری؛ θ_{Tm} = زمان گرمایی مورد نیاز برای جوانه زنی ۵۰ درصد از جمعیت بذری؛ $\sigma_{\theta Tm}$ = انحراف استاندارد توزیع نرمال برای جوانه زنی ۵۰ درصد از جمعیت بذری؛ θ_{Tm} = دمای پایه برای جوانه زنی ۵۰ درصد از جمعیت بذری؛ T_m = دمای بیشینه کل جمعیت بذری؛ $T_{m(50)}$ = زمان گرمایی مورد نیاز برای جوانه زنی ۵۰ درصد از جمعیت بذری؛ σ_{Tm} = انحراف استاندارد توزیع نرمال برای جوانه زنی ۵۰ درصد از جمعیت بذری؛ $T_{m(50)}$ = دمای بیشینه برای ممانعت از جوانه زنی ۵۰ درصد از جمعیت بذری؛ σ_{Tm} = انحراف استاندارد توزیع نرمال برای جوانه زنی ۵۰ درصد از جمعیت بذری؛ θ_{Tm} = دمای بیشینه جمعیت بذری؛ $\sigma_{\theta Tm}$ = ریشه میانگین مربعات خطا؛ AICc = شاخص آکائیک تصحیح شده.



شکل ۱- روابط بین زمان گرمایی زیر بهینه مشاهده شده (دایره‌های پر) و پیش‌بینی شده، دمای پایه مشاهده شده (دایره‌های پر) و پیش‌بینی شده، زمان گرمایی بیش‌بهینه مشاهده شده (دایره‌های خالی) و پیش‌بینی شده و دمای بیشینه مشاهده شده (دایره‌های خالی) و پیش‌بینی شده برای کسرهای مختلف جوانه‌زنی رقم ساری گل بر مبنای مدل‌های جوانه‌زنی-گرمایی ۱ تا ۴.

Figure 1- Relations between observed (filled circles) and predicted sub-optimal thermal time, observed (filled circles) and predicted base temperature, and observed (open circles) predicted supra-optimal thermal time and observed (open circles) and predicted maximum temperature for different germination fractions of cv. Sarigol based on the thermal-germination models 1-4.

بازدارندگی گرمایی^۱ جوانه‌زنی نشان می‌دهند، یعنی چنانچه دما از حد معینی فراتر رود جوانه‌زنی کسر معینی از جمعیت بذری متوقف خواهد شد. به این ترتیب، احتمال جوانه‌زنی هر زیر جمعیت حاصل ترکیبی از دو توزیع نرمال تجمعی برای هر دوی زمان گرمایی و دماهای بیشینه خواهد بود.

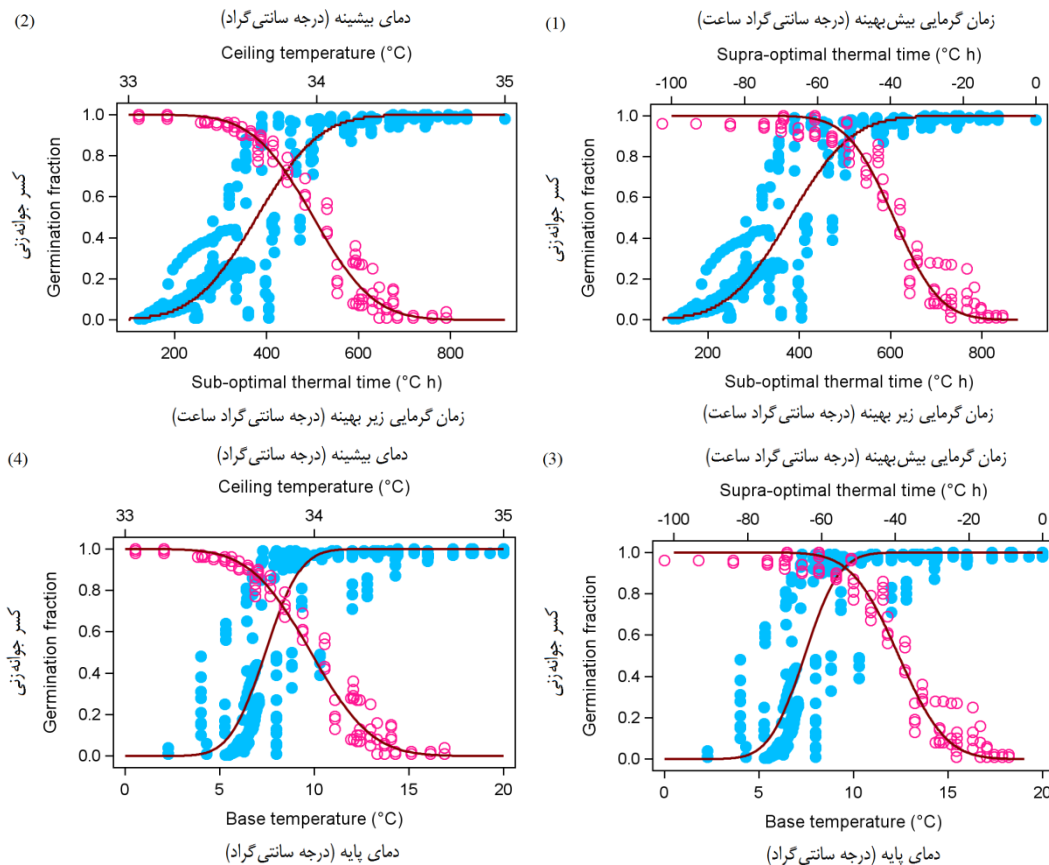
برخلاف نتایج این پژوهش، چنتر و همکاران (Chantre et al., 2009) گزارش کردند که T_b برای درصدهای مختلف جوانه‌زنی علف‌هرز سنگدانه متغیر بود و از این رو مدل زمان گرمایی مشمول این فرض پیش‌بینی دقیق‌تری از پیشرفت جوانه‌زنی ارائه داد. عدم ثبات و تنوع T_b درون جمعیت بذری در چندین مطالعه دیگر گزارش شده است (Forcella et al., 2000; Wang et al., 2004; Hardegree, 2006). اما، نکته‌ای که باید به آن توجه داشت این

همچنین، $T_{o(10)}$ ، $T_{o(50)}$ و $T_{o(90)}$ برای رقم دلگان به ترتیب معادل ۳۰/۹۶، ۳۱/۷۸ و ۳۲/۰۱ درجه سانتی‌گراد (شکل ۴B) و برای رقم RGS003 به ترتیب معادل ۳۲/۰۸، ۳۲/۰۶ و ۳۱/۷۰ درجه سانتی‌گراد محاسبه شد (شکل ۴C).

بر اساس نتایج مشاهده شده، دقیق‌ترین رهیافت زمان گرمایی برای شبیه‌سازی پاسخ جوانه‌زنی هر سه رقم بهاره کلزا به دماهای ثابت با فرض توزیع نرمال برای هر دوی زمان گرمایی زیر بهینه و دماهای بیشینه در جمعیت بذری به‌دست آمد. بر مبنای این رویکرد، یک حداقل دما برای جوانه‌زنی کل بذرها هر جمعیت لازم است. در حالی‌که، در دماهای بیش‌بهینه یک مقدار ثابت زمان گرمایی برای جوانه‌زنی کل جمعیت بذری وجود دارد، جوانه‌زنی هر کسر معین از جمعیت بذری در دماهای زیر بهینه به تجمع واحدهای معین زمان گرمایی وابسته است. بذرها در دماهای بیش‌بهینه فرآیند

است که در اغلب این گزارش ها مدل های جوانه زنی-گرمایی برای گونه های غیر زراعی توسعه یافته اند. در حالی که، در همه مدل های ارائه شده برای ارقام گیاهان زراعی T_b به عنوان یک ویژگی ثابت جمعیت بذری گزارش شده است (Garcia-Huidobro *et al.*, 1982; Covell *et al.*, 1986; Bradford, 2002). تنوع T_b درون جمعیت های بذری غیر زراعی ممکن است با تنوع ژنتیکی داخل این جمعیت ها (Wang *et al.*, 2004) یا ناهمگونی شرایط محیطی در دوره بلوغ بذر (Baskin and Baskin, 1998) در ارتباط باشد.

شکل ۲- روابط بین مقادیر زمان گرمایی مشاهده شده (دایره های پر) و پیش بینی شده در دماهای زیر بهینه، دمای پایه مشاهده شده (دایره های پر) و پیش بینی شده، زمان گرمایی بیش بهینه مشاهده شده (دایره های خالی) و پیش بینی شده (دایره های خالی) و پیش بینی شده برای کسره های مختلف جوانه زنی رقم دلگان بر مبنای مدل های جوانه زنی-گرمایی ۱ تا ۴.



شکل ۲- روابط بین مقادیر زمان گرمایی مشاهده شده (دایره های پر) و پیش بینی شده در دماهای زیر بهینه، دمای پایه مشاهده شده (دایره های پر) و پیش بینی شده، زمان گرمایی بیش بهینه مشاهده شده (دایره های خالی) و پیش بینی شده (دایره های خالی) و پیش بینی شده برای کسره های مختلف جوانه زنی رقم دلگان بر مبنای مدل های جوانه زنی-گرمایی ۱ تا ۴.

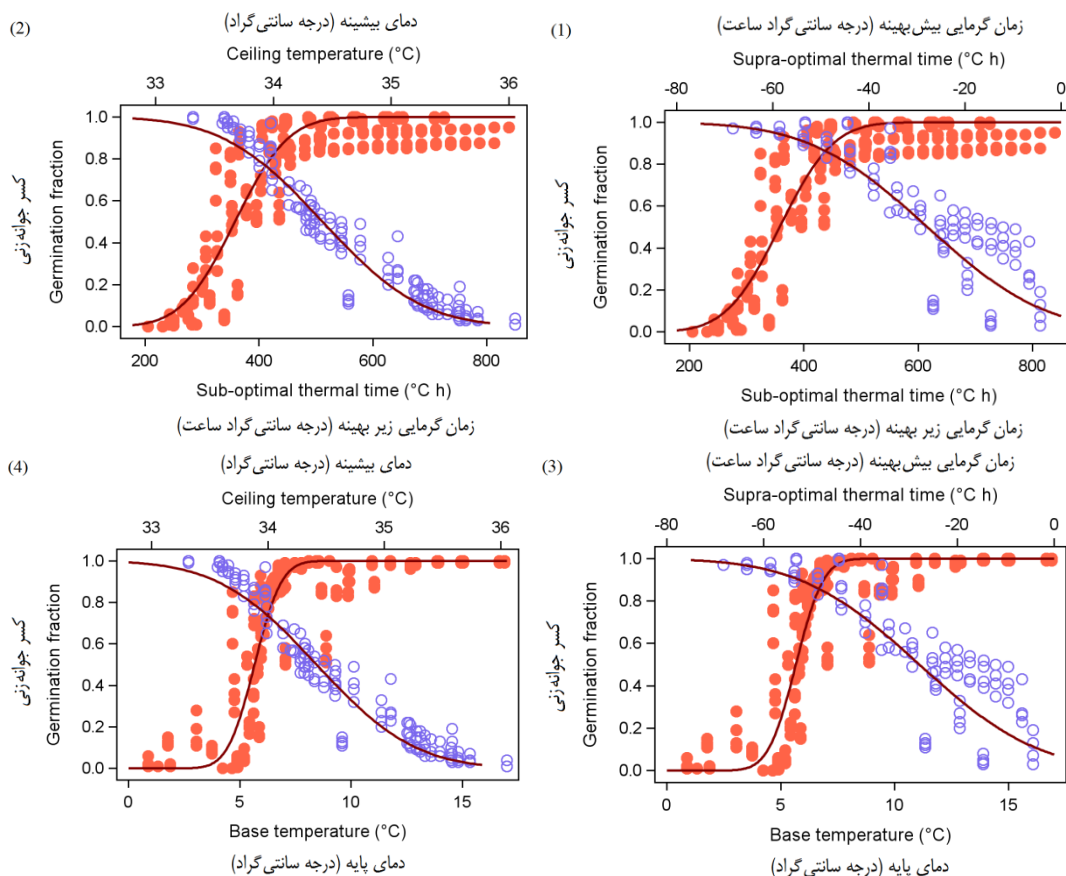
Figure 2- Relations between observed (filled circles) and predicted sub-optimal thermal time, observed (filled circles) and predicted base temperature, and observed (open circles) predicted supra-optimal thermal time and observed (open circles) and predicted maximum temperature for different germination fractions of cv. Dalgan based on the thermal-germination models 1-4.

همه خروجی های مدل زمان گرمایی از نظر زیست شناختی معنی دار هستند و از این رو می توانند برای مقایسه واکنش جوانه زنی ارقام و گونه ها به دما مورد استفاده قرار گیرند. پاسخ جوانه زنی ارقام کلزای مورد مطالعه به دماهای پایین متفاوت بود، به طوری که T_b برای جوانه زنی رقم دلگان (۷/۱۳ درجه سانتی گراد) بیشتر از ارقام ساری گل و RGS003 (۵/۷۱ درجه سانتی گراد) به دست آمد. در این خصوص، T_b برای ظهور گیاهچه ارقام بهاره کلزا در سطح خاک بین ۷/۸۹ تا ۱۰/۹۴ درجه سانتی گراد گزارش شده است (Jafari *et al.*, 2012). در هر سه رقم کلزا فرآیند بازدارندگی گرمایی جوانه زنی بذر در گستره

دمایی کوچکی رخ داد. به طوری که، در رقم دلگان تنها با ۲/۲ درجه سانتی گراد افزایش دما از دمای بهینه ($T_{o(50)}$; ۳۱/۷۸ درجه سانتی گراد) پاسخ بازدارندگی گرمایی جوانه زنی در ۵۰ درصد از جمعیت بذری مشاهده شد. همچنین، در ارقام ساری گل و RGS003 به ترتیب ۲/۴۷ و ۲/۳۶ درجه سانتی گراد افزایش دما از $T_{o(50)}$ برای کاهش ۵۰ درصدی جوانه زنی جمعیت بذری لازم بود. پاسخ بازدارندگی گرمایی جوانه زنی بذر اغلب با چرخه زندگی سالانه متداول در اقلیم های مدیترانه ای یا زمستان های مرطوب و تابستان های خشک در ارتباط است (Nascimento *et al.*, 2013). در این مناطق،

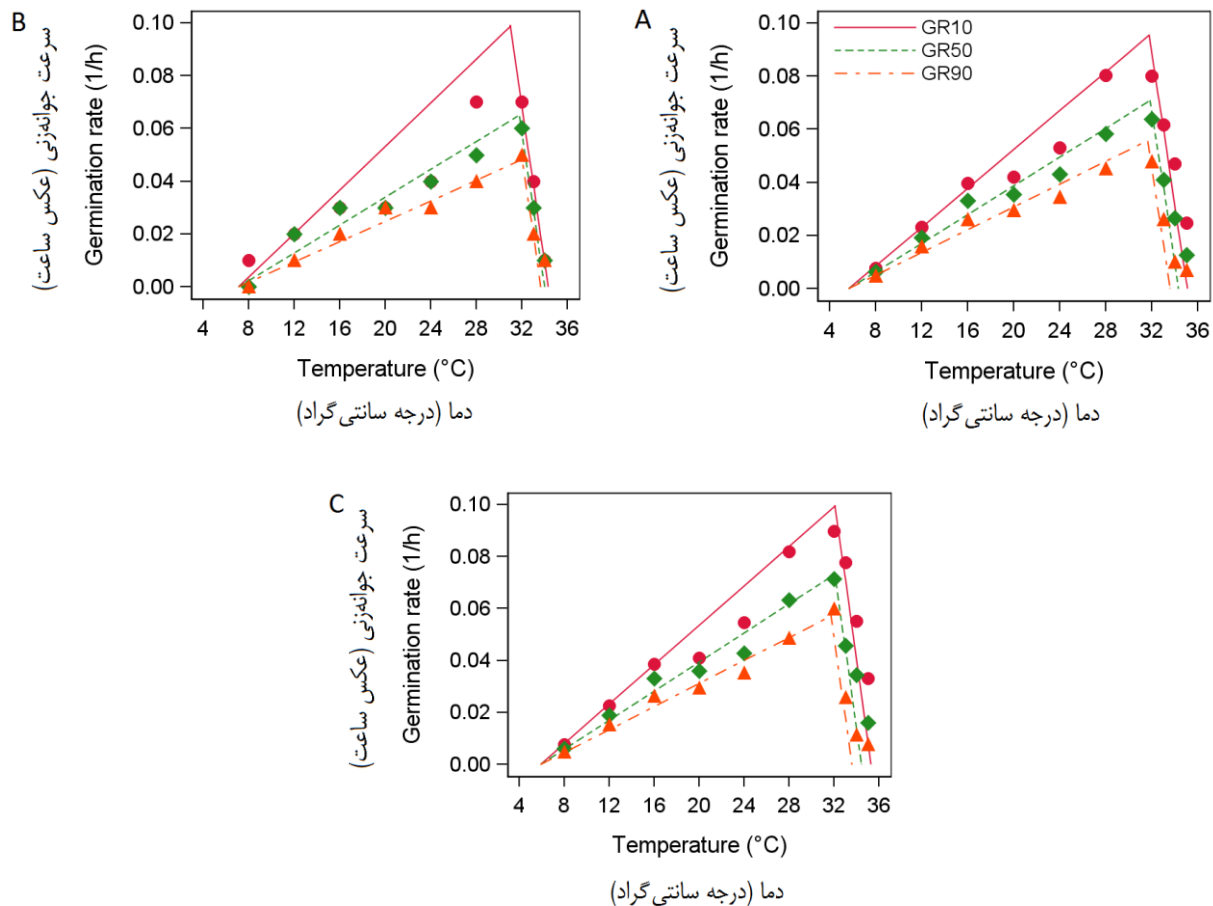
تعیین‌کننده زمان تا جوانه‌زنی کسرهای مختلف جمعیت بذری است. بنابراین، هرچه این پارامترها کوچکتر باشند گستره یا اندازه پراکنش زمان جوانه‌زنی کسرهای مختلف بذری کوچکتر و در نتیجه یکنواختی جوانه‌زنی جمعیت بذری در دماهای زیر بهینه بیشتر می‌باشد. σ_{T_m} گستره‌ای از دماهای بیش‌بهینه را نشان می‌دهد که در آن دماها جوانه‌زنی جمعیت بذری محتمل است. بنابراین، هرچه این پارامتر کوچکتر باشد گستره دماهایی که بذرها قادر به جوانه‌زنی هستند کوچکتر و یکنواختی جوانه‌زنی جمعیت بذری در دماهای بیش‌بهینه بیشتر است. هرچند تفاوت چشمگیری میان ارقام کلزا از نظر سرعت جوانه‌زنی در سطوح دمایی زیر بهینه یا بیش‌بهینه مشاهده نشد، اما یکنواختی جوانه‌زنی جمعیت بذری رقم دلگان در سطوح دمایی زیر بهینه کمتر از ارقام دیگر و گستره دماهای محتمل برای جوانه‌زنی این رقم کوچکتر از ارقام دیگر کلزا بود.

جوانه‌زنی بذرهایی که در اوایل تابستان ریزش می‌کنند تا فرا رسیدن دماهای خنک‌تر و بارش‌های مطمئن‌تر فصل پاییز به تأخیر می‌افتد (Huo and Bradford, 2015). بنابراین، این پاسخ بازدارندگی جوانه‌زنی در ارقام کلزا، هرچند در دامنه دمایی کوچک، نوعی تطبیق‌پذیری اکولوژیکی محسوب می‌شود و می‌تواند به بقاء بذرها تحت شرایط متغیر دمای خاک در طی فصل تابستان و ظهور به‌عنوان علف‌هرز خودرو در فصل پاییز کمک کند. پارامترهای θ_{T_m} و $\theta_{T(50)}$ به‌ترتیب معیاری از سرعت جوانه‌زنی جمعیت بذری در سطوح دمایی زیر بهینه و بیش‌بهینه هستند. هرچه این پارامترها کوچکتر باشند سرعت جوانه‌زنی جمعیت بذری در سطوح گوناگون دمایی بیشتر است. همچنین، پارامترهای σ_{T_m} و $\sigma_{\theta T}$ به‌ترتیب معیاری از یکنواختی جوانه‌زنی جمعیت بذری در سطوح دمایی زیر بهینه و بیش‌بهینه هستند. در مدل جوانه‌زنی-گرمایی تنوع θ_T در دماهای زیر بهینه



شکل ۳- روابط بین مقادیر زمان گرمایی مشاهده شده (دایره‌های پر) و پیش‌بینی شده در دماهای زیر بهینه، دمای پایه مشاهده شده (دایره‌های پر) و پیش‌بینی شده، زمان گرمایی بیش‌بهینه مشاهده شده (دایره‌های خالی) و پیش‌بینی شده و دمای بیش‌بهینه مشاهده شده (دایره‌های خالی) و پیش‌بینی شده برای کسرهای مختلف جوانه‌زنی رقم RGS003 بر مبنای مدل‌های جوانه‌زنی-گرمایی ۱ تا ۴.

Figure 3- Relations between observed (filled circles) and predicted sub-optimal thermal time, observed (filled circles) and predicted base temperature, and observed (open circles) predicted supra-optimal thermal time and observed (open circles) and predicted maximum temperature for different germination models of cv. RGS003 based on the thermal-germination models 1-4.



شکل ۴- رابطه بین سرعت جوانه زنی مشاهده شده (نمادها) و پیش بینی شده (خطوط) و دما برای کسرهای ۱۰ (GR10)، ۵۰ (GR50) و ۹۰ درصد (GR90) جوانه زنی در ارقام ساری گل (A)، دلگان (B) و RGS003 (C)

Figure 4- Relation between observed (symbols) and predicted (lines) germination rate and temperature for fractions 10, 50 and 90% germination in Sarigol (A), Dalgan (B) and RGS003 (C) cultivars

وقتی برای T_m و T_b برای کل جمعیت بذری ثابت فرض شد و توزیع نرمال برای توصیف تنوع $\theta_{T(g)}$ در دماهای زیر بهینه و $T_{m(g)}$ در دماهای بیش بهینه به کار رفت، مدل برازش بهتر و دقیق تری به دوره های زمانی جوانه زنی هر سه رقم بهاره کلزا در پاسخ به دماهای ثابت داشت. این مدل جوانه زنی-گرمایی الگوهای جوانه زنی مشاهده شده در ارقام مختلف کلزا را به خوبی توصیف کرد. آستانه های گرمایی که در این مطالعه برای ارقام کلزا تعیین شد تفاوت جوانه زنی این جمعیت های بذری در پاسخ به دما را به خوبی توضیح می دهد.

آستانه های گرمایی که در این مطالعه برای ارقام بهاره کلزا تعیین شد مقادیر اولیه مورد نیاز برای پیش بینی زمان از آبتوشی تا جوانه زنی بذر را به عنوان نخستین مرحله نمو گیاه زراعی در اختیار قرار می دهد. برای پیش بینی دقیق سبز شدن این گیاه می توان زمان گرمایی مورد نیاز برای این مرحله را به مقدار مورد نیاز از جوانه زنی تا ظهور در سطح خاک اضافه کرد.

نتیجه گیری

در مجموع، ارزیابی فرض های مدل زمان گرمایی نشان داد که

References

- Alvarado, V., and Bradford, K. J. 2002. A hydrothermal time model explains the cardinal temperatures for seed germination. *Plant, Cell & Environment* 25 (8): 1061-1069.
- Baskin, C. C., and Baskin, J. M. 1998. *Seeds: ecology, biogeography, and evolution of dormancy and germination*. San Diego, CA: Academic Press.

3. Bradford, K. J. 2002. Applications of hydrothermal time to quantifying and modeling seed germination and dormancy. *Weed Science* 50 (2): 248-260.
4. Burnham, K. P., and Anderson, D. R. 2002. *Model Selection and Multimodel Inference: A Practical Information-Theoretic Approach*. Springer, New York, USA.
5. Chantre, G. R., Batlla, D., Sabbatini, M. R., and Orioli, G. 2009. Germination parameterization and development of an after-ripening thermal-time model for primary dormancy release of *Lithospermum arvense* seeds. *Annals of Botany* 103 (8): 1291-1301.
6. Covell, S., Ellis, R. H., Roberts, E. H., and Summerfield, R. J. 1986. The influence of temperature on seed germination rate in grain legumes. I. A comparison of chickpea, lentil, soybean, and cowpea at constant temperatures. *Journal of Experimental Botany* 37 (5): 705-715.
7. Ellis, R. H., Covell, S., Roberts, E. H., and Summerfield, R. J. 1986. The influence of temperature on seed germination rate in grain legumes. II. Intraspecific variation in chickpea (*Cicer arietinum* L.) at constant temperatures. *Journal of Experimental Botany* 37 (10): 1503-1515.
8. Forcella, F., Benech-Arnold, R. L., Sanchez, R., and Ghersa, C. M. 2000. Modelling seedling emergence. *Field Crops Research* 67 (2): 123-139.
9. Garcia-Huidobro, J., Monteith, J. L., and Squire, G. R. 1982. Time, temperature and germination of pearl millet (*Pennisetum typhoides* S. & H.). I. Constant temperature. *Journal of Experimental Botany* 33 (2): 288-296.
10. Hardegree, S.P. 2006. Predicting germination response to temperature. III. Model validation under field-variable temperature conditions. *Annals of Botany* 98 (4): 827-834.
11. Hardegree, S. P., and Van Vactor, S. S. 2000. Germination and emergence of primed grass seeds under field and simulated-field temperature regimes. *Annals of Botany* 85 (3): 379-390.
12. Huo, H., and Bradford, K. J. 2015. Molecular and hormonal regulation of thermoinhibition of seed germination. PP 3-33 in J.V. Anderson ed. *Advances in Plant Dormancy*. Springer International Publishing Switzerland.
13. Jafari, N., Esfahani, M., and Sabouri, A. 2012. Assessment of non-linear regression models to evaluate response of seedling emergence rate to temperature in three oil seed rape seed cultivars. *Iranian Journal of Field Crop Science* 42 (4): 857-868. (in Persian with English abstract).
14. Mesgaran, M. B., Rahimian Mashhadi, H. R., Alizadeh, H., Ohadi, S., and Zare, A. 2014. Modeling the germination responses of wild barley (*Hordeum spontaneum*) and littleseed canary grass (*Phalaris minor*) to temperature. *Iranian Journal of Weed Science* 9 (2): 105-118. (in Persian with English abstract).
15. Nascimento, W. M., Huber, D. J., and Cantliffe, D. J. 2013. Carrot seed germination and respiration at high temperature in response to seed maturity and priming. *Seed Science and Technology* 41 (1): 164-169.
16. Qiu, J., Bai, Y., Coulman, B., and Romo, J. T. 2006. Using thermal time models to predict seedling emergence of orchardgrass (*Dactylis glomerata* L.) under alternating temperature regimes. *Seed Science Research* 16 (4): 261-271.
17. Soltani, A., and Sinclair T. R. 2011. A simple model for chickpea development growth and yield. *Field Crops Research* 124 (2): 252-260.
18. Soltani, A., Robertson, M. J., Torabi, B., Yousefi-Daz, M., and Sarparast, R. 2006. Modelling seedling emergence in chickpea as influenced by temperature and sowing depth. *Agricultural and Forest Meteorology* 138 (1-4): 156-167.
19. Steadman, K. J. 2004. Dormancy release during hydrated storage in *Lolium rigidum* seeds is dependent on temperature, light quality, and hydration status. *Journal of Experimental Botany* 55 (398): 929-937.
20. Wang, R., Bai, Y., and Tanino, K. 2004. Effect of seed size and sub-zero imbibitions temperature on the thermal time model of winterfat (*Eurotia lanata* (Pursh) Moq.). *Environmental and Experimental Botany* 51 (3): 183-197.
21. Zhang, H., McGill, C. R., Irving, L. J., Kemp, P. D., and Zhou, D. 2012. A modified thermal time model to predict germination rate of ryegrass and tall fescue at constant temperatures. *Crop Science* 53 (1): 240-249.



Application of Thermal-time Concept to Modeling Oilseed Rape (*Brassica napus* L.) Seed Germination Response to Temperature

A. Derakhshan¹- A. Bakhshandeh^{1*}- S. A. Siadat¹- M. R. MoradiTlavat¹- B. Andarzian²

Received: 21-11-2016

Accepted: 12-07-2017

Introduction

In seed plants, seed germination is one of the important life history events, because it determines the time when a new life cycle is initiated. Temperature (T) is one of the most important environmental determinants of capacity and rate of germination. Base, optimum and ceiling T (cardinal temperatures) characterize the limit of this environmental factor over which the germination of a particular species can occur. The thermal-time approach has been successful in describing germination time courses in response to T, and most models predicting crop phenological development use a thermal-time scale to normalize for T variation over time. A clear understanding of the seed germination patterns is helpful in screening for tolerance of crops and cultivars to either low or high temperatures and in identifying geographical areas where a species or genotype can germinate and establish successfully by using the critical lower and upper temperatures for germination. Information on cardinal temperatures is lacking for germination of spring oilseed rape (*Brassica napus* L.), as one of the world's major oilseed crops. The aim of the present work was to evaluate the relative accuracy of different thermal-time approaches for the description of germination in three cultivars of spring oilseed rape.

Materials and Methods

Germination responses of three spring oilseed rape cultivars were investigated at different constant temperatures. The seeds were incubated in the dark using germinators with controlled environments at eleven constant T regimes of 8, 12, 16, 20, 24, 28, 32, 33, 34, 35 and 36 °C with a range of ± 0.2 °C over a 21-day period. These T regimes cover both the sub- and supra-optimal T ranges. The trial was replicated three times with 4 Petri-dishes in each replication, for a total of 12 Petri-dishes for each cultivar at each T regime. The germinated seeds (criterion, radicle protrusion of > 2 mm) were counted and removed at frequent time intervals (every 4-8 h). Germination counts at each replicate of each T regime were pooled by cultivar across trials for data analysis. Cumulative germination percentage was calculated for every cultivar and T regime for every count-hour. The time taken for cumulative germination to reach subpopulation percentiles of 10, 50 and 90% of maximum in each T regime were calculated by interpolation from the progress of germination (%) versus time curve. Experimentally obtained cumulative-germination curves were used to perform a non-linear regression procedure to assess the relative accuracy of different thermal-germination models in predicting germination response under constant incubation temperatures. Assessment of goodness-of-fit was performed by the Akaike information criterion (AIC).

Results and Discussion

The most accurate approach for simulating the thermal-germination response of all three spring oilseed rape cultivars achieved by assuming a normal distribution of both thermal-time required to complete the germination of each given seed fraction in sub-optimal T range ($\theta_{T(g)}$) and maximum germination temperatures ($T_{m(g)}$), while base T (T_b) or supra-optimal thermal-time (θ_{Tm}) were considered constant for the entire population. According to this model, the base T for different cultivars ranged from 5.66 (cv. Sarigol) to 7.13 °C (cv. Dalgan). Estimated θ_{Tm} varied between 31.62 to 34.55 °C h for different spring oilseed rape cultivars. A $\theta_{T(50)}$ of 369.27 °C h and a $T_{m(50)}$ of 34.32 °C were identified for seed population of cv. Sarigol. The $\theta_{T(50)}$ was estimated to be 378.76 °C h for cv. Dalgan and 357.89 °C h for cv. RGS003. The $T_{m(50)}$ for germination of cv. Dalgan and cv. RGS003 was estimated to be 33.98 and 34.42 °C, respectively. In all three cultivars, calculated values for optimum T (T_o) were not constant across subpopulations. The $T_{o(50)}$ was estimated to be 31.85 °C for cv. Sarigol, 31.78 °C for cv. Dalgan and 32.06 °C for cv. RGS003. Thermal-time analysis, although an empirical method, is considered by

1- Department of Plant Production and Genetics Engineering, Faculty of Agriculture, Khuzestan Agricultural Sciences and Natural Resources University

2- Seed and Plant Improvement Department, Research and Education Center of Agricultural and Natural Resources of Khuzestan, Agricultural Research Education and Extension Organization (AREEO)

(*- Corresponding Author Email: Abakhshandeh@ramin.ac.ir)

many researchers to have physiologically and ecologically relevant parameters and, in its standard form, provides several useful indices of seed germination behavior in response to T. Despite its popularity, the generality of its assumptions has not been examined systematically. If these assumptions do not hold, at least approximately, in a particular situation, misleading interpretations can easily arise.

Conclusions

The thermal thresholds for seed germination identified in this study explain the differences in seed germination detected among populations of different spring oilseed rape cultivars. The thermal-time model described here gave an acceptable explanation of the observed seed germination patterns.

Keywords: Akaike information criterion, Cardinal temperatures, Cumulative distribution function, Normal distribution, Thermal units